

ТРІЩИНА У ВИГЛЯДІ ТРИЛАНКОВОЇ ЛАМАНОЇ ПІД ДІЄЮ ХВИЛІ ПОЗДОВЖНЬОГО ЗСУВУ

Розв'язано задачу про визначення динамічних коефіцієнтів інтенсивності напружень для тріщини у вигляді ламаної, що складається з трьох ланок. Тріщина міститься у необмеженому пружному середовищі, у якому поширюються гармонічні хвилі поздовжнього зсуву. Вихідну задачу зведено до системи трьох сингулярних інтегро-диференціальних рівнянь з нерухомими особливостями. Розроблено числовий метод розв'язання цієї системи, що враховує справжню асимптотику невідомих функцій.

На сьогодні існує значна кількість розв'язків двовимірних динамічних задач теорії пружності для тіл з тріщинами у вигляді відрізка прямої або дуги гладкої кривої. Але реальні тріщини можуть мати кутові точки і можуть бути кусково-гладкими, перетинатися і розгалужуватись. Задач про визначення динамічного напруженого стану в околі таких тріщин практично не розв'язували. Це пов'язано з труднощами, які виникають при їх розв'язуванні поширеним останнім часом методом граничних інтегральних рівнянь і зведенні задач до сингулярних інтегро-диференціальних або гіперсингулярних рівнянь з нерухомими особливостями. Найбільш дослідженими є задачі статичні тіл з тріщинами, які мають кутові точки. Перш за все, слід відмітити роботи [2, 13], у яких методом Вінера – Гопфа вдалося отримати точний розв'язок і знайти точне значення КІН. Ці розв'язки, а також результати роботи [3] показують, що наявність ядер з нерухомими особливостями впливає на особливість розв'язків в околах кінців відрізків інтегрування. Напружений стан поблизу розгалужених, ламаних і крайових тріщин визначали також в роботах [5, 10, 12, 14]. При числовому розв'язуванні інтегральних рівнянь у них використовували метод механічних квадратур, який ґрунтується на використанні квадратурних формул Гаусса – Чебишова, що передумовлює кореневу особливість розв'язків. При цьому справжня асимптотика розв'язку або не враховується, або на розв'язок накладається додаткова умова, яка забезпечує особливість, слабшу від кореневої. Іншим недоліком числових методів, використаних у цих роботах, є формальне застосування до інтегралів з нерухомими особливостями квадратурних формул Гаусса – Чебишова. В результаті збіжність виявляється досить повільною (для отримання результатів з похибкою, меншою ніж 0.1%, необхідно використати декілька десятків точок колокації).

У цій роботі розв'язано задачу про визначення динамічних КІН для тріщини у вигляді триланкової ламаної при взаємодії з гармонічною хвилею поздовжнього зсуву. Для розв'язання системи трьох сингулярних інтегро-диференціальних рівнянь, до яких зведено задачу, запропоновано метод колокацій. У цьому методі враховано справжню особливість розв'язку, а для обчислення інтегралів з нерухомими особливостями використано спеціальні квадратурні формули.

Постановка задачі і зведення її до системи сингулярних інтегральних рівнянь. Розглядаємо необмежене ізотропне пружне середовище в умовах антиплоскої деформації з наскрізною тріщиною, яка в площині Oxy має вигляд триланкової ламаної (рис. 1). З тріщиною взаємодіє плоска хвиля поздовжнього зсуву, фронт якої утворює кут θ_0 з віссю Ox і викликає у середовищі уздовж осі Oz переміщення

$$W_0^{\text{in}}(x, y) = A_0 \exp(i\alpha_2(x \sin \theta_0 + y \cos \theta_0)), \quad \alpha_2^2 = \frac{\rho\omega^2}{G}, \quad (1)$$

де G , ρ – модуль зсуву і густина середовища, ω – частота коливань. Залежність від часу визначається множителем $e^{-i\omega t}$, який тут і надалі пропускаємо.

Нехай $W(x, y)$ – єдина відмінна від нуля при антиплоскій деформації компонента вектора переміщень. У системі координат Oxy вона задовольняє рівняння Гельмгольца

$$\Delta W + \alpha_2^2 W = 0. \quad (2)$$

Для формулювання граничних умов на тріщині з кожною її ланкою пов'яжемо систему координат $O_\ell x_\ell y_\ell$, $\ell = 1, 2, 3$, центр якої збігається з серединою ланки. Зв'язок між системами координат задається формулами

$$\begin{aligned} x_\ell &= (x - a_\ell) \cos \alpha_\ell + (y - b_\ell) \sin \alpha_\ell, & x &= a_\ell + x_\ell \cos \alpha_\ell - y_\ell \sin \alpha_\ell, \\ y_\ell &= -(x - a_\ell) \sin \alpha_\ell + (y - b_\ell) \cos \alpha_\ell, & y &= b_\ell + x_\ell \sin \alpha_\ell + y_\ell \cos \alpha_\ell. \end{aligned} \quad (3)$$

Нехай

$$W_\ell(x_\ell, y_\ell) = W(a_\ell + x_\ell \cos \alpha_\ell - y_\ell \sin \alpha_\ell, b_\ell + x_\ell \sin \alpha_\ell + y_\ell \cos \alpha_\ell)$$

– переміщення у системі координат, пов'язаній з ℓ -ю ланкою тріщини. Тоді при відсутності на берегах тріщини навантаження повинні виконуватись рівності

$$\tau_{zy_\ell}(x_\ell, 0) = -\tau_{zy_\ell}^{\text{in}}(x_\ell, 0), \quad x_\ell \in [-d_\ell, d_\ell], \quad (4)$$

де

$$\tau_{zy_\ell} = G \frac{\partial W_\ell}{\partial y_\ell}, \quad \tau_{zy_\ell}^{\text{in}} = G \frac{\partial W_\ell^{\text{in}}}{\partial y_\ell}.$$

Наявність тріщини приводить до розриву переміщень, для стрибків яких вводим позначення

$$W_\ell(x_\ell, +0) - W_\ell(x_\ell, -0) = \chi_\ell(x_\ell), \quad x_\ell \in [-d_\ell, d_\ell], \quad \ell = 1, 2, 3. \quad (5)$$

Крім цього, з неперервності переміщень уздовж берега тріщини випливає

$$\begin{aligned} W_\ell(d_\ell, +0) &= W_{\ell+1}(-d_{\ell+1}, +0), \\ W_\ell(d_\ell, -0) &= W_{\ell+1}(-d_{\ell+1}, -0), \quad \ell = 1, 2. \end{aligned} \quad (6)$$

Розв'язування сформульованої задачі (2)–(5) починаємо з побудови у системі координат $O_k x_k y_k$ розривного розв'язку рівняння Гельмгольца для кожної ланки тріщини [8]

$$W_k^d(x_k, y_k) = \frac{\partial}{\partial y_k} \int_{-d_k}^{d_k} \chi_k(\eta) r_2(\eta - x_k, y_k) d\eta, \quad (7)$$

де

$$r_2(\eta - x_k, y_k) = -\frac{i}{4} H_0^{(1)}(\alpha_2 \sqrt{(\eta - x_k)^2 + y_k^2}).$$

Відповідні напруження знаходимо за формулами

$$\begin{aligned} \tau_{zy_k}^d &= -G \int_{-d_k}^{d_k} \chi_k(\eta) \frac{\partial^2}{\partial \eta^2} r_2(\eta - x_k, y_k) d\eta - \\ &\quad - G \alpha_2^2 \int_{-d_k}^{d_k} \chi_k(\eta) r_2(\eta - x_k, y_k) d\eta, \end{aligned}$$

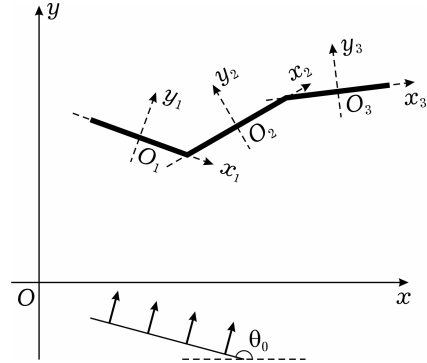


Рис. 1

$$\tau_{zx_k}^d = -G \frac{\partial}{\partial y_k} \int_{-d_k}^{d_k} \chi_k(\eta) \frac{\partial^2 r_2}{\partial \eta^2} (\eta - x_k, y_k) d\eta, \quad k = 1, 2. \quad (8)$$

Після цього переміщення відбитого хвильового поля подаємо у вигляді

$$W(x, y) = \sum_{k=1}^3 W_k^g(x, y), \quad (9)$$

де

$$W_k^g(x, y) = W_k^d((x - a_k) \cos \alpha_k + (y - b_k) \sin \alpha_k, -(x - a_k) \sin \alpha_k + (y - b_k) \cos \alpha_k).$$

Щоб остаточно визначити переміщення дифракційного поля, необхідно відшукати невідомі стрибки (5). Для цього слід використати умову (4). Попередньо з (8), (9) знаходимо

$$\tau_{zy_\ell}^k = \sum_{k=1}^2 \tau_{zy_\ell}^k, \quad \tau_{zy_\ell}^k = -\tau_{zx_k}^d \sin \alpha_{\ell k} + \tau_{zy_k}^d \cos \alpha_{\ell k}, \quad \alpha_{\ell k} = \alpha_\ell - \alpha_k, \quad \ell = 1, 2, 3, \quad (10)$$

і здійснюємо перехід до системи координат, пов'язаної з ℓ -ю тріщиною. Після цього відповідно до (8) доданки у (10) визначаємо за формулами

$$\begin{aligned} \tau_{zy_\ell}^k(x_\ell, y_\ell) &= G \int_{-d_k}^{d_k} \chi_k'(\eta) F_{\ell k}(\eta, x_\ell, y_\ell) d\eta + \\ &+ G \frac{i\alpha_2^2}{4} \cos \alpha_{\ell k} \int_{-d_k}^{d_k} \chi_k(\eta) H_0^{(1)}(\alpha_2 \sqrt{Z_{\ell k}}) d\eta, \end{aligned} \quad (11)$$

де

$$F_{\ell k}(\eta, x_\ell, y_\ell) = \frac{i\alpha_2}{4} (\eta \cos \alpha_{\ell k} - x_\ell - (a_\ell - a_k) \cos \alpha_\ell - (b_\ell - b_k) \sin \alpha_\ell) \frac{H_1^{(1)}(\alpha_2 \sqrt{Z_{\ell k}})}{Z_{\ell k}},$$

$$Z_{\ell k} = (A_{\ell k} + x_\ell \cos \alpha_{\ell k} - y_\ell \sin \alpha_{\ell k})^2 + (B_{\ell k} + x_\ell \sin \alpha_{\ell k} + y_\ell \cos \alpha_{\ell k})^2,$$

$$A_{\ell k} = (a_\ell - a_k) \cos \alpha_{\ell k} + (b_\ell - b_k) \sin \alpha_{\ell k},$$

$$B_{\ell k} = -(a_\ell - a_k) \sin \alpha_{\ell k} + (b_\ell - b_k) \cos \alpha_{\ell k}.$$

При виведенні (11) в інтегралах, що містять похідні другого порядку, здійснено інтегрування частинами і враховано, що внаслідок (6) позаінтегральні доданки дорівнюють нулеві.

В результаті підстановки (10), (11) у (4) отримуємо систему сингулярних інтегро-диференціальних рівнянь відносно стрибків (5) і їх похідних. Ця система після вилучення сингулярних складових ядер і низки перетворень має такий вигляд:

$$\begin{aligned} \frac{1}{2\pi} \int_{-1}^1 \left(\frac{E}{\tau - \zeta} + G(\tau, \zeta) + R(\tau, \zeta) \right) \Phi'(\tau) d\tau + \\ + \frac{1}{2\pi} \int_{-1}^1 (-\alpha_0^2 \ln |\tau - \zeta| + U(\tau, \zeta)) \Phi(\tau) d\tau = F(\zeta), \quad -1 < \zeta < 1, \end{aligned} \quad (12)$$

$$\Phi(\tau) = \begin{pmatrix} \varphi_1(\tau) \\ \varphi_2(\tau) \\ \varphi_3(\tau) \end{pmatrix}, \quad \Phi'(\tau) = \begin{pmatrix} \varphi_1'(\tau) \\ \varphi_2'(\tau) \\ \varphi_3'(\tau) \end{pmatrix},$$

$$F(\tau) = \begin{pmatrix} f_1(\tau) \\ f_2(\tau) \\ f_3(\tau) \end{pmatrix}, \quad E = \begin{pmatrix} 1 & 0 & 0 \\ 0 & 1 & 0 \\ 0 & 0 & 1 \end{pmatrix},$$

$$G(\tau, \zeta) = \begin{pmatrix} 0 & g_{12}(\tau, \zeta) & 0 \\ -g_{21}(\tau, \zeta) & 0 & g_{23}(\tau, \zeta) \\ 0 & -g_{32}(\tau, \zeta) & 0 \end{pmatrix},$$

$$R(\tau, \zeta) = \{R_{\ell k}(\tau, \zeta)\}, \quad U(\tau, \zeta) = \{U_{\ell k}(\tau, \zeta)\}, \quad \varphi_\ell(\tau) = d_\ell \chi(d_\ell \tau),$$

$$f_\ell(\zeta) = -i\alpha_0 C_0 \cos(\theta_0) \exp(i\alpha_0(\varepsilon_\ell \sin \theta_0 + \delta_\ell \cos \theta_0 + \gamma_\ell \zeta \sin \theta_0)),$$

$$\varepsilon_\ell = a_\ell d^{-1}, \quad \delta_\ell = b_\ell d^{-1}, \quad \gamma_\ell = d_\ell d^{-1}, \quad d = \max(d_\ell), \quad \ell, k = 1, 2, 3,$$

$$C_0 = d^{-1} A_0, \quad \alpha_0 = \alpha_2 d.$$

Ненульовими елементами матриці $G(\tau, \zeta)$ є функції

$$g_{\ell k}(\tau, \zeta) = -\frac{s_{\ell k} \gamma_k ((1 - s_{\ell k} \tau) \cos \alpha_{\ell k} + \gamma_k (1 + s_{\ell k} \zeta))}{Q_{\ell k}(\tau, \zeta)}, \quad s_{\ell k} = \operatorname{sgn}(\ell - k), \quad (13)$$

де

$$Q_{\ell k}(\tau, \zeta) = \gamma_k^2 (1 - s_{\ell k} \tau)^2 + \gamma_\ell^2 (1 + s_{\ell k} \zeta)^2 + 2\gamma_k \gamma_\ell (1 - s_{\ell k} \tau)(1 + s_{\ell k} \zeta) \cos \alpha_{\ell k},$$

$$k, \ell = 1, 2, 3, \quad k \neq \ell.$$

Як можна бачити, ці функції мають особливості при $\zeta = \pm 1$, $\tau = \pm 1$. Матриці $R(\tau, \zeta)$ і $U(\tau, \zeta)$ складаються з функцій, що визначають регулярні інтеграли.

Числове розв'язання системи інтегро-диференціальних рівнянь. Наявність в сингулярних складових системи (12) нерухомих особливостей впливає на поведінку розв'язків в околі точок ± 1 . Їх асимптотика в околі цих точок визначається так само як і в [6, 8]. В результаті встановлено, що похідні невідомих функцій слід розшукувати у вигляді

$$\varphi_\ell'(\tau) = (1 - \tau)^{-\sigma_{\ell+1}} (1 + \tau)^{-\sigma_\ell} \psi_\ell(\tau), \quad \ell = 1, 2, 3, \quad (14)$$

де $\psi_\ell(\tau)$ задовольняють умови Гельдера, а показники степенів визначаються як

$$\sigma_\ell = \frac{\beta_{\ell-1}}{\pi + \beta_{\ell-1}}, \quad 0 \leq \beta_{\ell-1} \leq \pi, \quad \sigma_\ell = \frac{2\pi - \beta_{\ell-1}}{3\pi - \beta_{\ell-1}}, \quad \pi \leq \beta_{\ell-1} \leq 2\pi,$$

$$\beta_{\ell-1} = |\alpha_\ell - \alpha_{\ell-1}|, \quad \ell = 2, 3, \quad \sigma_1 = \sigma_4 = 0.5.$$

Далі функції $\psi_\ell(\tau)$ апроксимуємо інтерполяційними многочленами [11]

$$\psi_k(\tau) \approx \psi_{n-1}^{(k)}(\tau), \quad \psi_{n-1}^{(k)}(\tau) = \sum_{m=1}^n \psi_{km} \frac{P_{kn}(\tau)}{(\tau - \tau_{km}) P'_{kn}(\tau)},$$

$$\psi_{km} = \psi_k(\tau_{km}), \quad k = 1, 2, 3, \quad (15)$$

де $P_{kn}(\tau) = P_n^{-\sigma_{k+1} - \sigma_k}(\tau)$ – многочлени Якобі, ортогональні з відповідною вагою, а τ_{km} – корені цих многочленів. При поданні похідних невідомих

функцій у вигляді (14), (15) для інтегралів з ядром Коші використовуємо квадратурну формулу [1]

$$\int_{-1}^{+1} \frac{\varphi'_k(\tau)}{\tau - \zeta_{kj}} d\tau = \sum_{m=1}^n A_{km} \frac{\Psi_{km}}{\tau_{km} - \zeta_{kj}},$$

$$j = 1, 2, \dots, n_k, \quad n_1 = n_3 = n, \quad n_2 = n + 1. \quad (16)$$

У формулі (16) ζ_{kj} , $k = 1, 2, 3$, $j = 1, 2, \dots, n_k$, – нулі функції Якобі другого роду $J_n^{-\sigma_{k+1}-\sigma_k}(\tau)$, а A_{km} – коефіцієнти відповідних квадратурних формул Гаусса – Якобі [4].

Далі аналогічні формули необхідно отримати для інтегралів з нерухомими особливостями

$$E_{\ell k}^j = \int_{-1}^1 \varphi'_k(\tau) g_{\ell k}(\tau, \zeta_{\ell j}) d\tau, \quad \ell, k = 1, 2, 3, \quad \ell \neq k. \quad (17)$$

Якщо $1 \pm \zeta > \varepsilon > 0$, то функції $g_{\ell k}(\tau, \zeta)$, як можна бачити з (13), є нескінченно дифереційовними і до інтегралів (17) можна застосувати квадратурні формули Гауса – Якобі. Головна складність пов'язана з обчисленням цих інтегралів при $1 \pm \zeta \rightarrow 0$. Для цього використаємо подання (13)–(15) і здійснимо перетворення

$$\frac{g_{\ell k}(\tau, \zeta)}{\tau - \tau_{km}} = \frac{g_{\ell k}(\tau_{km}, \zeta)}{\tau - \tau_{km}} + \frac{s_{\ell k} \gamma_k^2}{q_{\ell k}(\tau_{km}, \zeta)} ((1 + s_{\ell k} \tau_{km}) g_{\ell k}(\tau, \zeta) -$$

$$- (1 - s_{\ell k} \zeta) g_{k\ell}(\zeta, \tau)), \quad \ell, k = 1, 2, 3, \quad \ell \neq k. \quad (18)$$

Далі після підстановки (14), (15), (18) у (17) інтеграл від першого доданка обчислюємо формулою

$$\int_{-1}^{+1} (1 - \tau)^{-\sigma_{k+1}} (1 + \tau)^{-\sigma_k} \frac{P_{kn}(\tau)}{\tau - \tau_{km}} d\tau = A_{km} P'_{kn}(\tau_{km}), \quad k = 1, 2, 3. \quad (19)$$

Аналогічні інтеграли з функціями $g_{\ell k}(\tau, \zeta)$ і $g_{k\ell}(\zeta, \tau)$ знаходимо методом для обчислення інтегралів з ортогональними многочленами [9], який ґрунтується на застосуванні інтегрального перетворення Мелліна. Остаточні формули для обчислення інтегралів з нерухомими особливостями мають вигляд

$$E_{\ell k}^j = \sum_{m=1}^n \Psi_{km} \frac{D_{jm}^{\ell k}}{Q_{\ell k}(\tau_{km}, \zeta_{\ell j})}, \quad \ell, k = 1, 2, 3, \quad \ell \neq k, \quad (20)$$

де

$$D_{jm}^{\ell k} = -s_{\ell k} A_{km} \gamma_k (\gamma_k (1 - s_{\ell k} \tau_{km}) \cos \beta + \gamma_\ell (1 + s_{\ell k} \zeta_{\ell j})),$$

$$1 + s_{\ell k} \zeta_{\ell j} > \varepsilon > 0,$$

$$D_{jm}^{\ell k} = -s_{\ell k} A_{km} \gamma_k (\gamma_k (1 - s_{\ell k} \tau_{km}) \cos \alpha_{\ell k} + \gamma_\ell (1 + s_{\ell k} \zeta_{\ell j})) -$$

$$- \frac{\gamma_k s_{\ell k} (-1)^{nk}}{P'_{kn}(\tau_{\ell m})} \left(\gamma_k (1 - s_{\ell k} \tau_{km}) B_n^{(1)} \left(\frac{\gamma_\ell (1 + s_{\ell k} \zeta_{\ell j})}{2\gamma_k} \right) + \right.$$

$$\left. + \gamma_\ell (1 + s_{\ell k} \zeta_{\ell j}) B_n^{(2)} \left(\frac{\gamma_\ell (1 + s_{\ell k} \zeta_{\ell j})}{2\gamma_k} \right) \right), \quad 0 \leq 1 + s_{\ell k} \zeta_{\ell j} < \varepsilon,$$

$$B_{kn}^{(p)}(y) = \frac{\Gamma(1 - \sigma_{k+1} + n)}{n! 2^{\sigma_{k+1} + \sigma_k}} \left[-\frac{\sin \pi(\sigma_{k+1} + \sigma_k)}{\sin \pi \sigma_{k+1}} \sum_{s=0}^{\infty} c_{sk} y^s \cos \beta(s + 2 - p) + \frac{\sin \pi \sigma_k}{\sin \pi \sigma_{k+1}} \sum_{s=0}^{\infty} d_{sk} y^{-\sigma_{k+1} + s} \cos \beta(\sigma_{k+1} - s - 2 + p) \right], \quad p = 1, 2,$$

$$c_s = \frac{(-1)^s (n + s)! \Gamma(\sigma_{k+1} + \sigma_k - n + s)}{s! \Gamma(1 + s + \sigma_{k+1})},$$

$$d_s = \frac{(-1)^s \Gamma(1 - s + n + \sigma_{k+1}) \Gamma(\sigma_k - n + s)}{s! \Gamma(1 + s - \sigma_{k+1})}.$$

Оскільки система (12) містить і самі функції $\varphi_\ell(\tau)$, $\ell = 1, 2, 3$, то необхідно отримати квадратурні формули для відповідних інтегралів. Для цього спочатку використаємо очевидні формули

$$\varphi_k(\tau) = \varphi_k(-1) + \int_{-1}^{\tau} \varphi'_k(x) dx, \quad \varphi_k(\tau) = \varphi_k(1) - \int_{\tau}^1 \varphi'_k(x) dx. \quad (21)$$

Далі використаємо (14), (15) і тотожність Дарбу – Крістофеля для ортогональних многочленів [11]:

$$\frac{P_{kn}(\tau)}{\tau - \tau_{km}} = A_{km} P'_{kn}(\tau_{km}) \sum_{j=0}^{n-1} \frac{P_{kj}(\tau_{km}) P_{kj}(\tau)}{s_{kj}^2}, \quad (22)$$

де

$$s_{kj}^2 = \frac{2^{1 - \sigma_{k+1} - \sigma_k} \Gamma(1 - \sigma_{k+1} + j) \Gamma(1 - \sigma_k + j)}{(1 - \sigma_k - \sigma_{k+1} + 2j) \Gamma(1 - \sigma_k - \sigma_{k+1} + 2j)}, \quad k = 1, 2, 3.$$

Тепер після підстановки (14), (15) і (22) у (21) та інтегрування отримаємо наступні наближені формули для невідомих функцій:

$$\varphi_k(\tau) = \varphi_k(\pm 1) + (1 \pm \tau)^{1 - \sigma_k^\mp} \sum_{m=1}^n A_{km} S_{km}^\mp(\tau), \quad \sigma_k^- = \sigma_k, \quad \sigma_k^+ = \sigma_{k+1}, \quad (23)$$

де

$$S_{km}^\mp = s_{k0}^{-2} F_k^\mp(\tau) - (1 \mp \tau)^{1 - \sigma_k^\pm} \sum_{j=1}^{n-1} \frac{P_{kj-1}^{(1)}(\tau) P_{kj}(\tau_{km})}{2j s_{kj}^2},$$

$$F_k^\mp(\tau) = \frac{F\left(\sigma_k^\pm, 1 - \sigma_k^\mp, 2 - \sigma_k^\mp, \frac{1 \pm \tau}{2}\right)}{2^{\sigma_k^\pm} (1 - \sigma_k^\mp)}.$$

Подання (23) є основою для наступних квадратурних формул з невідомими функціями:

$$\int_{-1}^1 \varphi_k(\tau) U_{\ell k}(\tau, \zeta_{\ell j}) d\tau = \varphi_k(\pm 1) U_{\ell k}^j + \sum_{m=1}^n A_{km} \Psi_{km} U_{\ell kj}^\pm, \quad (24)$$

де

$$U_{\ell k}^j = \sum_{p=1}^n A_{0p} U_{\ell k}(z_{0p}, \zeta_{\ell j}), \quad A_{0p} = \frac{2}{(1 - z_{0p}^2)(P'_n(z_{0p}))^2},$$

$P_n(z)$ – многочлени Лежандра, z_{0p} – корені цих многочленів,

$$U_{lkj}^{\pm} = \sum_{p=1}^n A_{kp}^{\pm} S_{km}^{\pm}(z_{kp}^{\pm}) U_{lk}(z_{kp}^{\pm}, \zeta_{lj}),$$

$$A_{kp}^{\pm} = \frac{2^{\sigma_k^{\pm}}}{(1 - (z_{kp}^{\pm})^2)(P_n^{\pm}(z_{kp}^{\pm}))^2},$$

$P_n^{-}(z) = P_n^{01-\sigma_k^{-}}(z)$, $P_n^{+}(z) = P_n^{1-\sigma_k^{+}0}(z)$ – многочлени Якобі, z_{kp}^{\pm} – корені цих многочленів.

Для інтегралів з логарифмічним різницеvim ядром в результаті інтегрування частинами і використання подань (14), (15) для похідних невідомих функцій виведено наступні квадратурні формули

$$\int_{-1}^1 \varphi_{\ell}(\tau) \ln |\tau - \zeta_{lj}| d\tau = \varphi_{\ell}(\pm 1) h_{lj} + \sum_{m=1}^n A_{\ell m} H_{\ell j m}^{\pm} \psi_{\ell j}, \quad (25)$$

де

$$h_{lj} = (1 - \zeta_{lj})(\ln(1 - \zeta_{lj}) - 1) + (1 + \zeta_{lj})(\ln(1 + \zeta_{lj}) - 1),$$

$$H_{\ell j m}^{\pm} = \mp(1 - \zeta_{lj})(\ln(1 - \zeta_{lj}) - 1) - (\tau_{\ell m} - \zeta_{lj})(\ln |\tau_{\ell m} - \zeta_{lj}| - 1).$$

Застосування квадратурних формул (16), (20), (24), (25), квадратурних формул Гаусса – Якобі і використання коренів многочленів Якобі як точок колокації зводить (12) до системи лінійних алгебраїчних рівнянь відносно $\psi_2(-1)$, ψ_{km} , $k = 1, 2, 3$. Після розв'язання цієї системи наближені значення КІН розраховуємо за формулами

$$K^{-} = -G\sqrt{d_1} \cdot 2^{-(1+\sigma_2)} P_{1n}(-1) \sum_{m=1}^n \frac{\Psi_{1m}}{P'_{1n}(\tau_{1m})(1 + \tau_{1m})},$$

$$K^{+} = -G\sqrt{d_3} \cdot 2^{-(1+\sigma_3)} P_{3n}(1) \sum_{m=1}^n \frac{\Psi_{3m}}{P'_{3n}(\tau_{3m})(1 + \tau_{3m})}. \quad (26)$$

Результати числового аналізу і висновки. При проведенні числової реалізації, по-перше, ставилась мета дослідити практичну збіжність запропонованого методу числового розв'язання. Для цього розглянуто тріщину наступної (див. рис. 2) конфігурації. Приймаємо таке співвідношення між довжинами ланок: $d_2 = 3d_1 = 3d_3$.

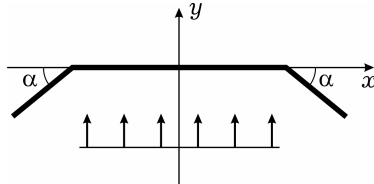


Рис. 2

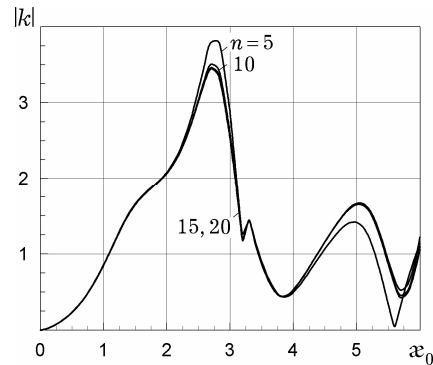


Рис. 3

За формулами (26) розраховано безрозмірні значення КІН $k^{-} = K^{-}/G\sqrt{d_1}$, $k^{+} = K^{+}/G\sqrt{d_3}$. Причому внаслідок симетрії маємо, що $k^{+} = k^{-} = k$. Обчислення виконано при значенні кута $\alpha = 45^{\circ}$.

Результати обчислень наведено у вигляді графіків залежності абсолютної величини КІН від безрозмірного хвильового числа $\alpha_0 = \alpha_2 d$. Значення $n = 5, 10, 15, 20$ відповідають кількості вузлів інтерполяції у формулі (15). Можна бачити, що для отримання значень КІН з похибкою, що не перевищує 0.1%, вистачає до 20 вузлів інтерполяції у (15). А для хвиль з малою частотою $\alpha_0 \leq 2$ достатньо і 5 вузлів.

Виконано дослідження впливу форми тріщини на значення КІН на прикладі тріщини, зображеної на рис. 4. Співвідношення між довжинами ланок таке ж, як і в попередньому випадку. Здійснено числове дослідження впливу значення кута β на залежність КІН від частоти. Результати розрахунків наведено на рис. 5 (для $\beta = 0, 30, 45, 60^\circ$) і рис. 6 (для $\beta = 90, 120, 135, 150^\circ$). Можемо бачити, що при гострих кутах β найбільші значення КІН має прямолинійна тріщина ($\beta = 0^\circ$) і при збільшенні цього кута значення КІН зменшуються і є мінімальними у випадку, коли ланки тріщини перпендикулярні.

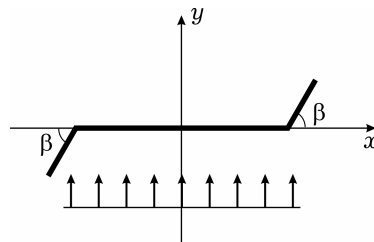


Рис. 4

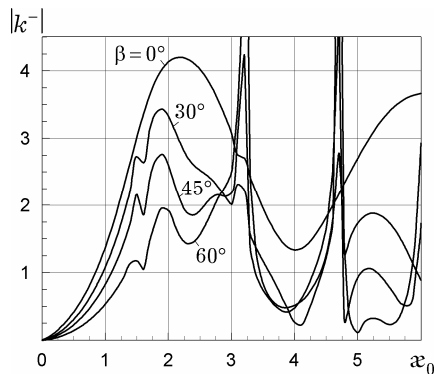


Рис. 5

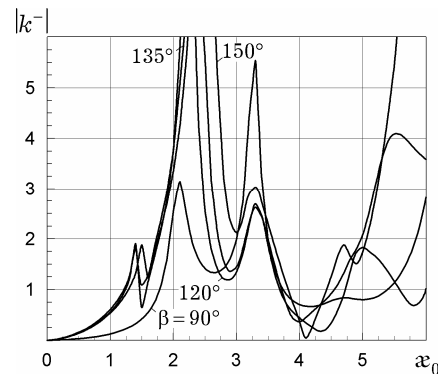


Рис. 6

При подальшому збільшенні кута між ланками КІН мають тенденцію до зростання і перевищують значення, що відповідають прямолинійній тріщині. В цілому внаслідок складності хвильового поля, створеного відбиттям хвиль від ланок тріщини, залежність КІН від частоти має істотні максимуми, на величину і положення яких впливає конфігурація тріщини.

1. Андреев А. Р. Прямой численный метод решения сингулярных интегральных уравнений первого рода с обобщенными ядрами // Изв. РАН. Механика твердого тела. – 2005. – № 1. – С. 126–146.

Те саме: Andreev A. V. Direct numerical method for solving singular integral equations of the first kind with generalized kernels // Mech. Solids. – 2005. – 40, No. 1. – P. 104–119.

2. Афан Б. А. Об интегральных уравнениях с неподвижными особенностями в теории ветвящихся трещин // Докл. АН АрмССР. – 1984. – 79, № 4. – С. 177–181.
3. Дудучава Р. В. Интегральные уравнения свертки с разрывными предсимволами, сингулярные интегральные уравнения с неподвижными особенностями и их приложения к задачам механики // Тр. Тбилис. мат. ин-та им. А. М. Разматзе АН ГССР. – 1979. – 60. – 135 с.

4. Крылов В. И. Приближенное вычисление интегралов. – Москва: Наука, 1967. – 500 с.
5. Осив П. Н., Саврук М. П. Определение напряжений в бесконечной пластине с ломаной или ветвящейся трещиной // Прикл. механика и техн. физика. – 1983. – № 2. – С. 142–147.
 The same: Osiv P. N., Savruk M. P. Determination of stresses in an infinite plate with broken or branching crack // J. Appl. Mech. Techn. Phys. – 1983. – 24, No. 2. – P. 266–271.
6. Попов В. Г. Дифракция упругих волн сдвига на включении сложной формы, расположенном в неограниченной упругой среде // Гидроаэромеханика и теория упругости: Численные и аналитические методы решения задач гидроаэродинамики и теории упругости. – Днепропетровск: Днепропетр. гос. ун-т, 1986. – С. 121–127.
7. Попов В. Г. Исследование полей перемещений и напряжений при дифракции упругих волн сдвига на тонком жестком отслоившемся включении // Изв. РАН. Механика твердого тела. – 1992. – № 3. – С. 139–146.
8. Попов В. Г. Напружений стан навколо двох тріщин, що виходять з однієї точки при гармонічних коливаннях позадвоного зсуву // Вісн. Київ. нац. ун-ту ім. Тараса Шевченка. Сер. Фіз.-мат. науки. – 2013. – Вип. 3. – С. 205–208.
9. Попов Г. Я. Концентрация упругих напряжений возле штампов, разрезов, тонких включений и подкреплений. – Москва: Наука, 1982. – 344 с.
10. Саврук М. П. Двумерные задачи упругости для тел с трещинами. – Киев: Наук. думка, 1981. – 324 с.
11. Сёге Г. Ортогональные многочлены. – Москва: Физматгиз, 1962. – 501 с.
12. Isida M., Noguchi H. Stress intensity factors at tips of branched cracks under various loadings // Int. J. Fract. – 1992. – 54, No. 4. – P. 293–316.
13. Vitek V. Plane strain stress intensity factors for branched cracks // Int. J. Fract. – 1977. – 13, No. 4. – P. 481–501.
14. Xiangqiao Yan. Stress intensity factors for asymmetric branched cracks in plane extension by using crack-tip displacement discontinuity elements // Mech. Res. Commun. – 2005. – 32, No. 4. – P. 375–384.

ТРЕЩИНА В ВИДЕ ТРЕХЗВЕННОЙ ЛОМАННОЙ ПОД ДЕЙСТВИЕМ ВОЛНЫ ПРОДОЛЬНОГО СДВИГА

Решена задача определения динамических коэффициентов интенсивности напряжений для трещины в виде ломаной, состоящей из трех звеньев. Трещина расположена в неограниченной упругой среде, в которой распространяются гармонические волны продольного сдвига. Исходная задача сведена к системе трех сингулярных интегро-дифференциальных уравнений с неподвижными особенностями. Разработан численный метод решения этой системы, учитывающий действительную асимптотику неизвестных функций.

A CRACK OF THE SHAPE OF THREE SEGMENTS BROKEN LINE UNDER ACTION OF LONGITUDINAL SHEAR WAVE

The problem on determination of the dynamical stress intensity factors for a crack of the shape of three-segment broken line is solved. The crack is located in an infinite elastic medium in which the longitudinal shear harmonic waves are propagated. The initial problem is reduced to a system of three singular integro-differential equations with fixed singularities. A numerical method of the solution of this system with account the real asymptotic of the unknown functions is developed.

Одеська нац. морська акад., Одеса

Одержано
16.09.14